



O decaimento $H \rightarrow \gamma\gamma$ no Modelo Standard

Jorge C. Romão

Instituto Superior Técnico, Departamento de Física & CFTP
A. Rovisco Pais 1, 1049-001 Lisboa, Portugal

2017

Sumário

[Sumário](#)

[Os Vértices](#)

[Os Diagramas](#)

[A Largura](#)

[Fermiões](#)

[Bosões](#)

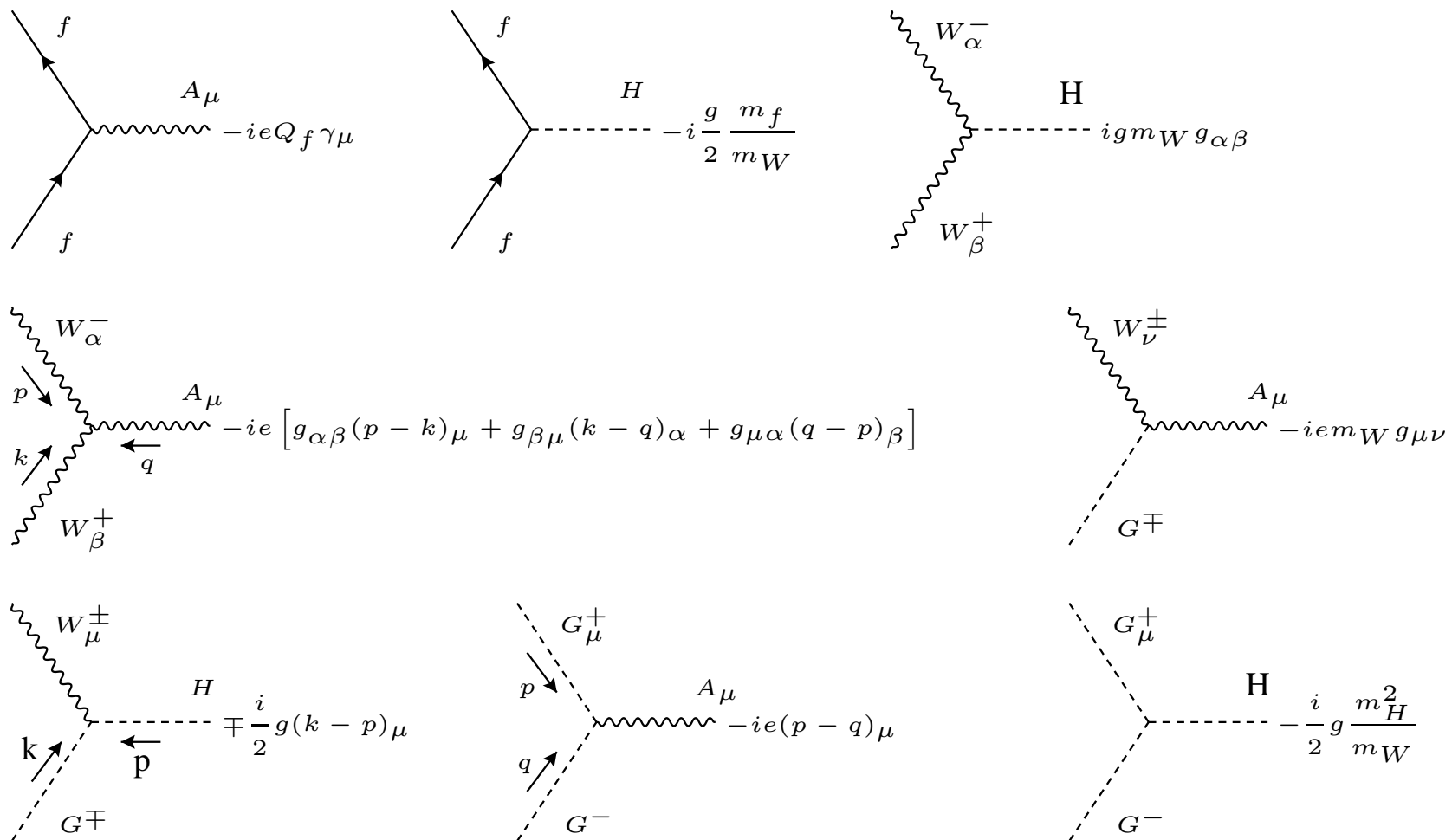
[Testes](#)

[Resultados](#)

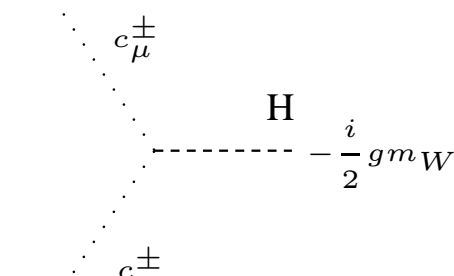
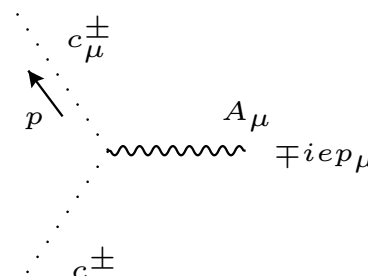
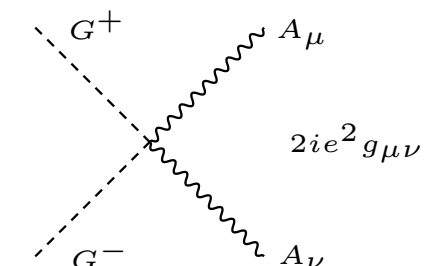
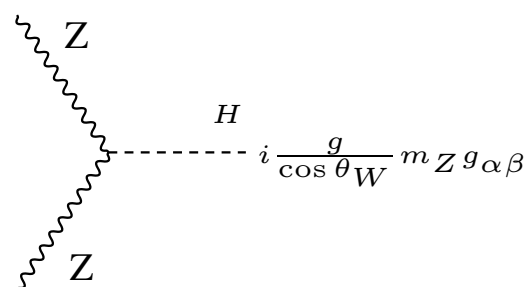
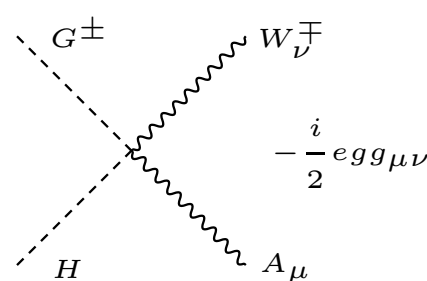
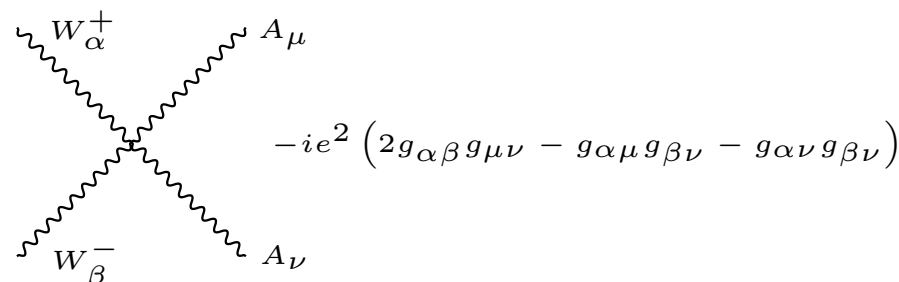
[Bibliografia](#)

- Os vértices
- Os diagramas
- A largura de decaimento
- Os diagramas com fermiões
- Os diagramas com bosões de gauge
- Testes
- Resultados

Os Vértices

[Sumário](#)
[Os Vértices](#)
[Os Diagramas](#)
[A Largura](#)
[Fermões](#)
[Bosões](#)
[Testes](#)
[Resultados](#)
[Bibliografia](#)


Os Vértices . . .

[Sumário](#)
[Os Vértices](#)
[Os Diagramas](#)
[A Largura](#)
[Fermões](#)
[Bosões](#)
[Testes](#)
[Resultados](#)
[Bibliografia](#)


O Ficheiro de Input para QGRAF

[Sumário](#)

[Os Vértices](#)

[Os Diagramas](#)

• QGRAF

[• Os Diagramas](#)

[• As Amplitudes](#)

[A Largura](#)

[Fermões](#)

[Bosões](#)

[Testes](#)

[Resultados](#)

[Bibliografia](#)

Para este problema é muito útil o programa QGRAF de Paulo Nogueira,
<http://cfif.ist.utl.pt/~paulo/>. O ficheiro de input é:

```
output= 'HGG.lista' ;
style= 'Styles/sum.sty' ;
model= 'Models/gws-tHooftFeynmanGauge' ;
in= H;
out=A,A;
loops= 1;
loop_momentum= ;
options= onepi ;
```

O Ficheiro do Modelo para QGRAF

O ficheiro do Modelo Padrão na gauge de Feynman-'tHooft é:

```
* -----  
* Last Update: 13.05.2008  
* -----  
* Higgs  
  
[H ,H ,+]  
  
* electron , muon , tau  
  
[e1 ,E1 , -]  
[e2 ,E2 , -]  
[e3 ,E3 , -]
```

... (Ver programa completo em <http://porthos.ist.utl.pt/CTQFT>)

```
* Gauge Goldstone  
  
[GWP ,WM ,A]  
[WP ,GWM ,A]  
[GWP ,GWM ,A]  
[GWP ,WM ,Z]  
[WP ,GWM ,Z]  
[GWP ,GWM ,Z]
```

...

QGRAF: Output

```
# file generated by qgraf-3.1

+(1)*
prop(WM(1,-k1+p1),WP(2,k1-p1))*
prop(WM(3,-k1),WP(4,k1))*
vrtx(WP(2,k1-p1),WM(3,-k1),H(-1,p1))*
vrtx(WP(4,k1),WM(1,-k1+p1),A(-2,-q1),A(-4,-q2))

+(1)*
prop(GWM(1,-k1+p1),GWP(2,k1-p1))*
prop(GWM(3,-k1),GWP(4,k1))*
vrtx(GWP(2,k1-p1),GWM(3,-k1),H(-1,p1))*
vrtx(GWP(4,k1),GWM(1,-k1+p1),A(-2,-q1),A(-4,-q2))
```

... (Ver output completo em <http://porthos.ist.utl.pt/CTQFT>)

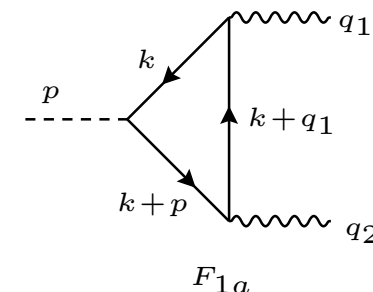
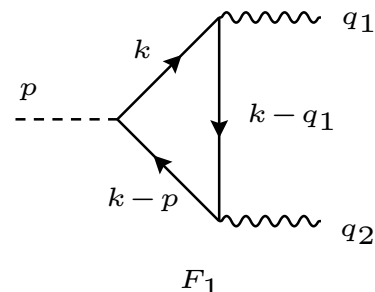
```
-(1)*
prop(cWM(1,k1),CWM(2,-k1))*
prop(cWM(3,k1-p1),CWM(4,-k1+p1))*
prop(cWM(5,k1-q1),CWM(6,-k1+q1))*
vrtx(CWM(2,-k1),cWM(3,k1-p1),H(-1,p1))*
vrtx(CWM(6,-k1+q1),cWM(1,k1),A(-2,-q1))*
vrtx(CWM(4,-k1+p1),cWM(5,k1-q1),A(-4,-q2))
;
# end
```

...

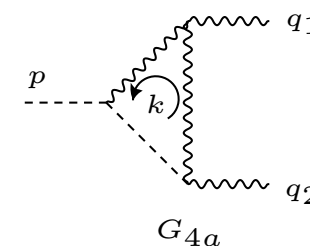
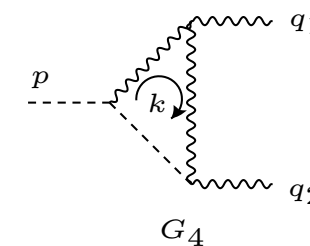
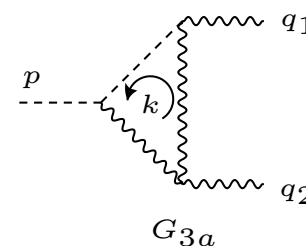
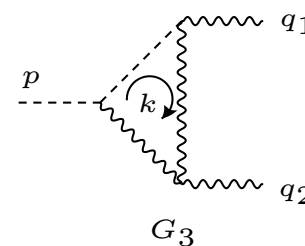
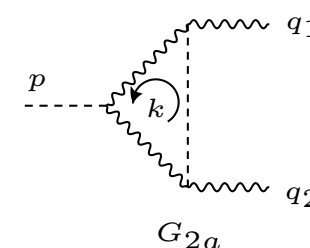
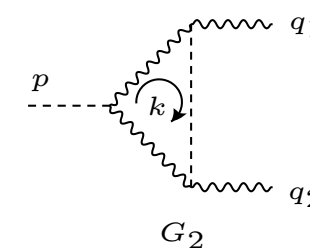
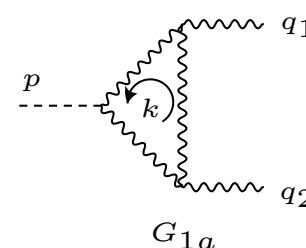
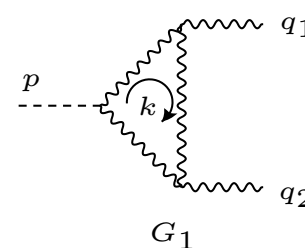
Os Diagramas

[Sumário](#)
[Os Vértices](#)
[Os Diagramas](#)
[• QGRAF](#)
[• Os Diagramas](#)
[• As Amplitudes](#)
[A Largura](#)
[Fermões](#)
[Bosões](#)
[Testes](#)
[Resultados](#)
[Bibliografia](#)

□ Com Fermões



□ Com Bosões de Gauge

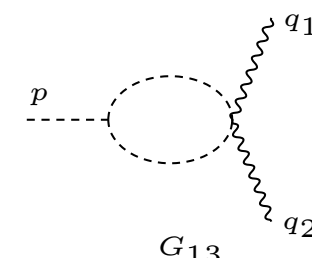
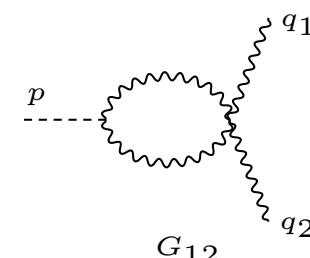
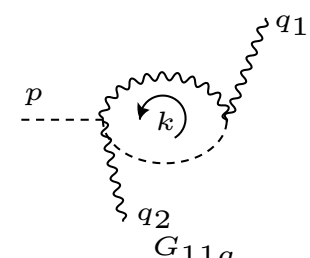
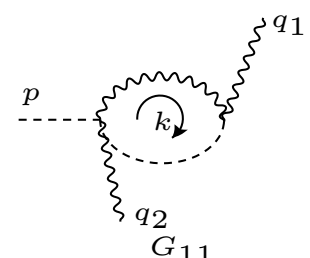
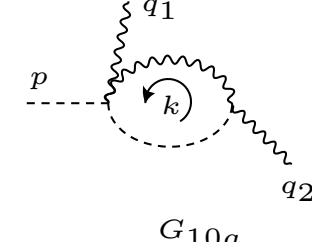
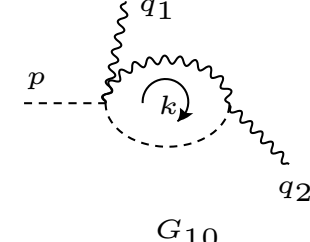
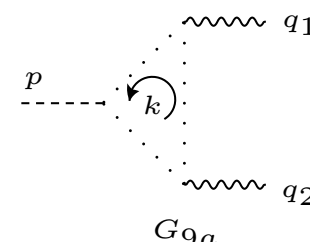
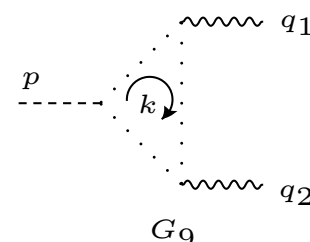
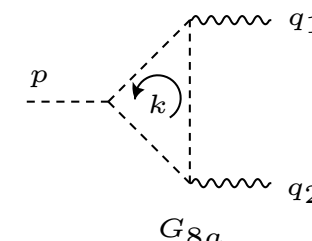
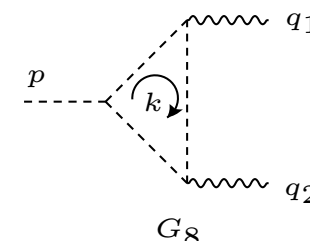
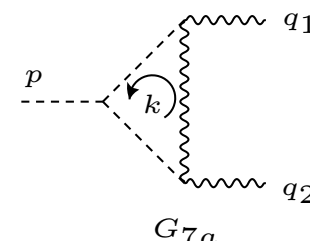
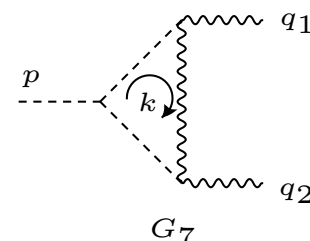
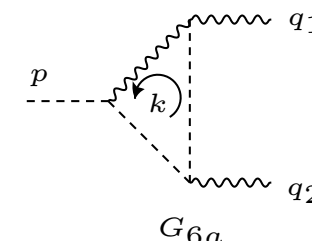
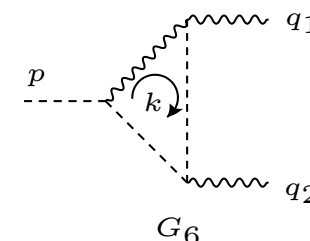
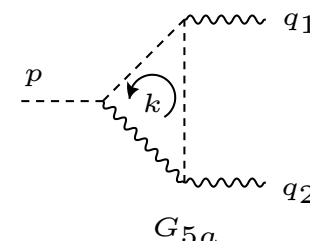
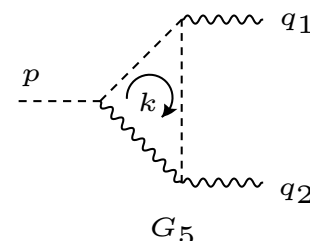


Os Diagramas . . .

[Sumário](#)
[Os Vértices](#)
[Os Diagramas](#)

• [QGRAF](#)

• **Os Diagramas**

• [As Amplitudes](#)
[A Largura](#)
[Fermões](#)
[Bosões](#)
[Testes](#)
[Resultados](#)
[Bibliografia](#)


As Amplitudes

[Sumário](#)
[Os Vértices](#)
[Os Diagramas](#)
[• QGRAF](#)
[• Os Diagramas](#)
[• As Amplitudes](#)
[A Largura](#)
[Fermões](#)
[Bosões](#)
[Testes](#)
[Resultados](#)
[Bibliografia](#)

Convenções:

- $V_S^\alpha(p, k) = (p - k)^\alpha$
- $W^{-\alpha}(p), W^{+\beta}(k), A^\mu(q)$ com momentos a entrar no vértice:

$$V_G^{\alpha\beta\mu}(p, k, q) = [g_{\alpha\beta}(p - k)_\mu + g_{\beta\mu}(k - q)_\alpha + g_{\mu\alpha}(q - p)_\beta]$$
- Para simplificar as expressões omitimos os denominadores dos propagadores.

Obtemos:

$$F_1 = (-ieQ_f)^2 \left(-i\frac{g}{2}\frac{m_f}{m_W}\right) i^3 (-1) \text{Tr}[(\not{k} + m_f)(\not{k} - \not{p} + m_f)\gamma_\nu(\not{k} - \not{q}_1 + m_f)\gamma_\mu]$$

$$F_{1a} = (-ieQ_f)^2 \left(-i\frac{g}{2}\frac{m_f}{m_W}\right) i^3 (-1) \text{Tr}[(\not{k} + m_f)\gamma_\mu(\not{k} + \not{q}_1 + m_f)\gamma_\nu(\not{k} + \not{p} + m_f)]$$

$$G_1 = igm_W(-ie)^2(-i)^3 V_{G\beta\alpha}{}^\mu(-k + q_1, k, -q_1) V_G^{\alpha\beta\nu}(-k + q_1 + q_2, k - q_1, -q_2)$$

$$G_{1a} = igm_W(-ie)^2(-i)^3 V_{G\alpha\beta}{}^\mu(k, -k + q_1, -q_1) V_G^{\beta\alpha\nu}(k - q_1, -k + q_1 + q_2, -q_2)$$

$$G_2 = G_{2a} = igm_W(-ie)(-ie)(-i)^2 im_W^2 g^{\mu\nu}$$

As Amplitudes . . .

[Sumário](#)
[Os Vértices](#)
[Os Diagramas](#)

• [QGRAF](#)

• [Os Diagramas](#)

• [As Amplitudes](#)
[A Largura](#)
[Fermões](#)
[Bosões](#)
[Testes](#)
[Resultados](#)
[Bibliografia](#)

$$G_3 = -\frac{ig}{2} V_{S\alpha}(-k, q_1 + q_2) (-ie)^2 m_W (-i)^2 i V_G^{\alpha\mu\nu}(-k + q_1 + q_2, k - q_1, -q_2)$$

$$G_{3a} = \frac{ig}{2} V_{S\alpha}(-k, q_1 + q_2) (-ie)^2 m_W (-i)^2 i V_G^{\mu\alpha\nu}(k - q_1, -k + q_1 + q_2, -q_2)$$

$$G_4 = \frac{ig}{2} V_{S\alpha}(k - q_1 - q_2, q_1 + q_2) (-ie)^2 m_W i^3 V_G^{\nu\alpha\mu}(-k + q_1, k, -q_1)$$

$$G_{4a} = -\frac{ig}{2} V_{S\alpha}(k - q_1 - q_2, q_1 + q_2) (-ie)^2 m_W i^3 V_G^{\alpha\nu\mu}(k, -k + q_1, -q_1)$$

$$G_5 = -\frac{ig}{2} (-ie)^2 m_W (-i) i^2 V_S^\nu(-k, q_1 + q_2) V_S^\mu(k, -k + q_1)$$

$$G_{5a} = \frac{ig}{2} (-ie)^2 m_W (-i) i^2 V_S^\nu(-k, q_1 + q_2) V_S^\mu(-k + q_1, k)$$

$$G_6 = \frac{ig}{2} (-ie)^2 m_W (-i) i^2 V_S^\mu(k - q_1 - q_2, q_1 + q_2) V_S^\nu(k - q_1, -k + q_1 + q_2)$$

$$G_{6a} = -\frac{ig}{2} (-ie)^2 m_W (-i) i^2 V_S^\mu(k - q_1 - q_2, q_1 + q_2) V_S^\nu(-k + q_1 + q_2, k - q_1)$$

$$G_7 = G_{7a} = -\frac{ig}{2} \frac{m_H^2}{m_W} (-ie)^2 m_W^2 (i)^2 (-i) g^{\mu\nu}$$

As Amplitudes . . .

[Sumário](#)
[Os Vértices](#)
[Os Diagramas](#)
[• QGRAF](#)
[• Os Diagramas](#)
[• As Amplitudes](#)
[A Largura](#)
[Fermiões](#)
[Bosões](#)
[Testes](#)
[Resultados](#)
[Bibliografia](#)

$$G_8 = -\frac{ig}{2} \frac{m_H^2}{m_W} (-ie)^2 i^3 V_S^\mu(k, -k + q_1) V_S^\nu(k - q_1, -k + q_1 + q_2)$$

$$G_{8a} = -\frac{ig}{2} \frac{m_H^2}{m_W} (-ie)^2 i^3 V_S^\mu(-k + q_1, k) V_S^\nu(-k + q_1 + q_2, k - q_1)$$

$$G_9 = -\frac{ig}{2} m_W (-ie)^2 i^3 (-1) (k - q_1)^\mu (k - q_1 - q_2)^\nu$$

$$G_{9a} = -\frac{ig}{2} m_W (-ie)^2 i^3 (-1) (-k)^\mu (-k + q_1)^\nu$$

$$G_{10} = G_{10a} = G_{11} = G_{11a} = -\frac{ieg}{2} (-ie) m_W (-i) ig^{\mu\nu}$$

$$G_{12} = ig m_W (-ie^2) (-i)^2 g_{\alpha\beta} (2g^{\alpha\beta} g^{\mu\nu} - g^{\alpha\mu} g^{\beta\nu} - g^{\alpha\nu} g^{\beta\mu})$$

$$G_{13} = -\frac{ig}{2} \frac{m_H^2}{m_W} i^2 2ie^2 g^{\mu\nu}$$

A Largura de Decaimento

[Sumário](#)

[Os Vértices](#)

[Os Diagramas](#)

[A Largura](#)

[Fermões](#)

[Bosões](#)

[Testes](#)

[Resultados](#)

[Bibliografia](#)

A largura de decaimento escreve-se

$$\Gamma = \frac{1}{16\pi} \frac{1}{m_H} \overline{|M|^2} \frac{1}{2}$$

onde o factor $1/2$ se deve a termos duas partículas idênticas no estado final. Devido à invariância de gauge todos os diagramas se podem escrever na forma

$$M_i = \frac{e^2 g}{m_W} \frac{1}{16\pi^2} \left[\epsilon_1(q_1) \cdot \epsilon_2(q_2) q_1 \cdot q_2 - \epsilon_1(q_1) \cdot q_2 \epsilon_1(q_2) \cdot q_1 \right] Q_i^2 X_i$$

Obtemos então

$$\Gamma = \frac{\alpha^2 g^2 m_H^3}{1024\pi^3 m_W^2} \sum_i |Q_i^2 X_i|^2 = \frac{\alpha^2 G_F m_H^3}{128\sqrt{2}\pi^3} \sum_i |Q_i^2 X_i|^2$$

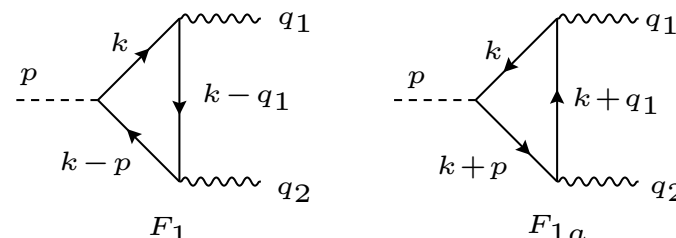
onde usámos

$$\sum_{\lambda_1, \lambda_2} \left| \epsilon_1(q_1) \cdot \epsilon_2(q_2) q_1 \cdot q_2 - \epsilon_1(q_1) \cdot q_2 \epsilon_1(q_2) \cdot q_1 \right|^2 = 2 (q_1 \cdot q_2)^2 = \frac{1}{2} m_H^4$$

Os Diagramas com Fermiões

[Sumário](#)
[Os Vértices](#)
[Os Diagramas](#)
[A Largura](#)
[Fermiões](#)
[Analítico](#)
[FeynCalc](#)
[Bosões](#)
[Testes](#)
[Resultados](#)
[Bibliografia](#)

Vamos calcular os diagramas dos fermiões



usando as fórmulas explícitas do Apêndice do meu texto OneLoop.
Obtemos para as amplitudes

$$iM_{F_1} = (-ieQ_f)^2 \left(-i\frac{g}{2}\frac{m_f}{m_W}\right) i^3 (-1) \int \frac{d^4k}{(2\pi)^4} \frac{\text{Tr}[(\not{k} + m_f)(\not{k} - \not{p} + m_f)\gamma_\nu(\not{k} - \not{q}_1 + m_f)\gamma_\mu]}{[k^2 - m_f^2][(k - p)^2 - m_f^2][(k - q_1)^2 - m_f^2]}$$

e

$$iM_{F_2} = (-ieQ_f)^2 \left(-i\frac{g}{2}\frac{m_f}{m_W}\right) i^3 (-1) \int \frac{d^4k}{(2\pi)^4} \frac{\text{Tr}[(\not{k} + m_f)\gamma_\mu(\not{k} + \not{q}_1 + m_f)\gamma_\nu(\not{k} + \not{p} + m_f)]}{[k^2 - m_f^2][(k + p)^2 - m_f^2][(k + q_1)^2 - m_f^2]}$$

Usando a mudança de variável $k \rightarrow -k$ no segundo integral podemos reduzir os dois integrais ao mesmo denominador.

Os Diagramas com Fermiões . . .

Fazendo os traços obtemos para a soma dos dois diagramas

$$iM_F = \frac{e^2 g}{m_W} \int \frac{d^4 k}{(2\pi)^4} \frac{N_{\mu\nu} \epsilon(q_1)^\mu \epsilon(q_2)^\nu}{[k^2 - m_f^2][(k-p)^2 - m_f^2][(k-q_1)^2 - m_f^2]}$$

com

$$N_{\mu\nu} = -4m_f^2 [g_{\mu\nu}(m_f^2 - q_1 \cdot q_2) + q_{1\nu}q_{2\mu} + (-4g_{\mu\alpha}q_{1\nu} + 2q_{1\alpha}g_{\mu\nu})k^\alpha + 4k_\mu k_\nu - k^2 g_{\mu\nu}]$$

Usando agora as Eqs (A.61-A.63) com

$$r_1 = -q_1, \quad r_2 = -q_1 - q_2, \quad P = x_1 r_1 + x_2 r_2$$

e

$$C = x_1^2 r_1^2 + x_2^2 r_2^2 + 2x_1 x_2 r_1 \cdot r_2 + m_f^2 - x_1 r_1^2 - x_2 r_2^2 = m_f^2 + 2x_2(-1 + x_1 + x_2)q_1 \cdot q_2$$

Obtemos

$$M_F = \frac{e^2 g}{m_W} \frac{1}{16\pi^2} \left[\epsilon_1(q_1) \cdot \epsilon_2(q_2) (q_1 \cdot q_2) - (\epsilon_1(q_1) \cdot q_2) (\epsilon_2(q_2) \cdot q_1) \right] Q_f^2 X_F$$

$$X_F = -4m_f^2 \int_0^1 dx_1 \int_0^{1-x_1} dx_2 \frac{4x_2^2 + 4(x_1 - 1)x_2 + 1}{m_f^2 + 2x_2(-1 + x_1 + x_2)q_1 \cdot q_2}$$

Os Diagramas com Fermiões . . .

[Sumário](#)
[Os Vértices](#)
[Os Diagramas](#)
[A Largura](#)
[Fermiões](#)
[Analítico](#)
[FeynCalc](#)
[Bosões](#)
[Testes](#)
[Resultados](#)
[Bibliografia](#)

- Notar que a divergência potencial dos termos em $k^\mu k^\nu$ e k^2 em $N^{\mu\nu}$ cancelou. Isto porque não pode haver contratermo para este processo pois não existe vértice ao nível do Lagrangiano.
- Mesmo com uso das expressões explícitas este cálculo está longe de ser fácil.
- A amplitude X_F pode ser expressa em termos de funções elementares com o resultado

$$X_F = -2\tau [1 + (1 - \tau)f(\tau)]$$

com

$$f(\tau) = \begin{cases} \left[\sin^{-1}(\sqrt{1/\tau}) \right]^2, & \text{se } \tau \geq 1 \\ -\frac{1}{4} [\ln(\eta_+/\eta_-) - i\pi]^2, & \text{se } \tau < 1 \end{cases}$$

e

$$\eta_{\pm} = 1 \pm \sqrt{1 - \tau}, \quad \tau = \frac{4m_f^2}{m_H^2}$$

- No seguimento veremos como utilizar FeynCalc para obter o mesmo resultado e também para calcular os outros diagramas.

Os Diagramas com Fermiões com FeynCalc

[Sumário](#)
[Os Vértices](#)
[Os Diagramas](#)
[A Largura](#)
[Fermiões](#)
[• Analítico](#)
[• FeynCalc](#)
[Bosões](#)
[Testes](#)
[Resultados](#)
[Bibliografia](#)

```
(* Definitions *)
dm[mu_] := DiracMatrix[mu]
dm[5] := DiracMatrix[5]
ds[p_] := DiracSlash[p]
mt[mu_, nu_] := MetricTensor[mu, nu]
fv[p_, mu_] := FourVector[p, mu]
epsilon[a_, b_, c_, d_] := LeviCivita[a, b, c, d]
id[n_] := IdentityMatrix[n]
sp[p_, q_] := ScalarProduct[p, q]
li[mu_] := LorentzIndex[mu]
prop[p_, m_] := m + ds[p]
PV[p_, mu_] := PolarizationVector[p, mu]

(* Diagrams F1 e F1a *)

NF1 := Tr[prop[k, mf].prop[k-q1-q2, mf].dm[nu].prop[k-q1, mf].dm[mu]]
NF1a := Tr[prop[-k, mf].dm[mu].prop[-k+q1, mf].dm[nu].prop[-k+q1+q2, mf]]

ampF := Contract[(NF1+NF1a) PV[q1, mu] PV[q2, nu]] \
FeynAmpDenominator[PropagatorDenominator[k, mf], \
PropagatorDenominator[k-q1-q2, mf], PropagatorDenominator[k-q1, mf]]
```

Os Diagramas com Fermiões com FeynCalc

[Sumário](#)
[Os Vértices](#)
[Os Diagramas](#)
[A Largura](#)
[Fermiões](#)
[• Analítico](#)
[• FeynCalc](#)
[Bosões](#)
[Testes](#)
[Resultados](#)
[Bibliografia](#)

```
(* Simplifications *)
onshell={sp[q1,q1]->0, sp[q2,q2]->0, sp[p,p]->mH^2}
kin1={sp[q1,q2]->mH^2/2}

resF:= (-I/Pi^2) OneLoop[k,ampF] /. onshell
ansF=PaVeReduce[resF]

aux =(Pair[Momentum[q1], Momentum[Polarization[q2, I]]]*
Pair[Momentum[q2], Momentum[Polarization[q1, I]]] -
Pair[Momentum[q1], Momentum[q2]]*Pair[Momentum[Polarization[q1, I]],
Momentum[Polarization[q2, I]]])

ans1=-Coefficient[ansF,aux] mf (-1/2 ) /. kin1

c0 = Coefficient[ans1,C0[0, 0, mH^2, mf^2, mf^2, mf^2],0]
c1 = Coefficient[ans1,C0[0, 0, mH^2, mf^2, mf^2, mf^2],1]
c0 = c0 /. mH->Sqrt[4 mf^2/tau]
c1 = c1 /. mH->Sqrt[4 mf^2/tau]

XF= Simplify[c0 + c1 C0[0, 0, mH^2, mf^2, mf^2, mf^2]]
```

Result:

$$XF = -2 \tau^2 - 4 mf^2 (\tau - 1) C0[0, 0, mH^2, mf^2, mf^2, mf^2]$$

Os Diagramas com Fermiões: Comentários

[Sumário](#)

[Os Vértices](#)

[Os Diagramas](#)

[A Largura](#)

[Fermiões](#)

• [Analítico](#)

• **FeynCalc**

[Bosões](#)

[Testes](#)

[Resultados](#)

[Bibliografia](#)

Os resultados parecem diferentes mas são de facto iguais. De facto, usando $\tau = 4m_f^2/m_H^2 = 2m_f^2/q_1 \cdot q_2$, obtemos

$$\begin{aligned}
 X_F^{(1)} &= -4m_f^2 \int_0^1 dx_1 \int_0^{1-x_1} dx_2 \frac{4x_2^2 + 4(x_1 - 1)x_2 + 1}{m_f^2 + 2x_2(-1 + x_1 + x_2)q_1 \cdot q_2} \\
 &= -4\tau \int_0^1 dx_1 \int_0^{1-x_1} dx_2 \frac{4x_2(-1 + x_1 + x_2) + 1}{\tau + 4x_2(-1 + x_1 + x_2)} \\
 &= -4\tau \int_0^1 dx_1 \int_0^{1-x_1} dx_2 \left[1 + (1 - \tau) \frac{1}{\tau + 4x_2(-1 + x_1 + x_2)} \right] \\
 &= -2\tau + 4(\tau - 1)\tau \int_0^1 dx_1 \int_0^{1-x_1} dx_2 \frac{1}{\tau + 4x_2(-1 + x_1 + x_2)} \\
 &= -2\tau - 4(\tau - 1)m_f^2 C_0(0, 0, m_H^2, m_f^2, m_f^2, m_f^2) = X_F^{(2)}
 \end{aligned}$$

pois

$$\begin{aligned}
 C_0(0, 0, m_H^2, m_f^2, m_f^2, m_f^2) &\equiv - \int_0^1 dx_1 \int_0^{1-x_1} dx_2 \frac{1}{m_f^2 + 2x_2(-1 + x_1 + x_2)q_1 \cdot q_2} \\
 &= -\tau \frac{1}{m_f^2} \int_0^1 dx_1 \int_0^{1-x_1} dx_2 \frac{1}{\tau + 4x_2(-1 + x_1 + x_2)}
 \end{aligned}$$

Os Diagramas com Bosões de Gauge: $G_8 + G_{8a} + G_{13}$

[Sumário](#)
[Os Vértices](#)
[Os Diagramas](#)
[A Largura](#)
[Fermiões](#)
[Bosões](#)

- Amplitude

- Gráfico

[Testes](#)
[Resultados](#)
[Bibliografia](#)

Os diagramas com bosões de gauge W^\pm são mais facilmente calculados na chamada gauge de Feynman-'tHooft, porque os numeradores dos propagadores dos W^\pm só têm o termo $-g^{\mu\nu}$ tal como o fotão em QED. O preço a pagar é um elevado número de diagramas. Para fazer este problema, vamos a partir daqui usar só o FeynCalc. Resulta que os diagramas $G_8 + G_{8a} + G_{13}$ são proporcionais à massa do bosão de Higgs e portanto têm que ser invariantes de gauge por si. Usando o código (ver em <http://porthos.ist.utl.pt/CTQFT>)

```
(*Definitions *)
VScalar[p_,k_,m_]:=fv[p-k,m]

(* Diagrams G8 e G8a *)
numG8:=(1/2 mH^2) VScalar[k,-k+q1,mu] VScalar[k-q1,-k+q1+q2,nu]
numG8a:=(1/2 mH^2) VScalar[-k+q1,k,mu] VScalar[-k+q1+q2,k-q1,nu]

ampG8:=Contract[(numG8+numG8a) PV[q1,mu] PV[q2,nu] ] \
FeynAmpDenominator[PropagatorDenominator[k,mW], \
PropagatorDenominator[k-q1-q2,mW],PropagatorDenominator[k-q1,mW]]

resG8:=(-I/Pi^2) OneLoop[k,ampG8] /. onshell
```

Os Diagramas $G_8 + G_{8a} + G_{13}$

[Sumário](#)
[Os Vértices](#)
[Os Diagramas](#)
[A Largura](#)
[Fermões](#)
[Bosões](#)

- Amplitude

- Gráfico

[Testes](#)
[Resultados](#)
[Bibliografia](#)

```
(* Diagrams G13 *)
numG13 := - mH^2 mt[mu,nu]

ampG13 := Contract[numG13 PV[q1,mu] PV[q2,nu]] \
FeynAmpDenominator[PropagatorDenominator[k,mW], \
PropagatorDenominator[k+q1+q2,mW]]

resG13 := (-I/Pi^2) OneLoop[k,ampG13] /. onshell

(* Diagrams G8+G8a+G13 *)
ansG8 = PaVeReduce[resG8]
ansG13 = PaVeReduce[resG13]
ansG8G13 = -Coefficient[ansG8+ansG13,aux]
TestG8G13 := Simplify[ansG8+ansG13 - (-aux) ansG8G13]
XG8G13 := ansG8G13 /. kin
```

obtemos o resultado

$$XG8G13 = \frac{2}{mW^2} + \frac{4}{mW^2} CO[0, 0, mH^2, mW^2, mW^2, mW^2]$$

Os Diagramas $G_1 + \dots + G_7 + G_9 + \dots + G_{12}$

[Sumário](#)
[Os Vértices](#)
[Os Diagramas](#)
[A Largura](#)
[Fermões](#)
[Bosões](#)

- Amplitude

- Gráfico

[Testes](#)
[Resultados](#)
[Bibliografia](#)

```
(* Diagram G1+G1a *)
numG1 := (mW^2) WMWPA[-k+q1,k,-q1,b,a,μ] \
WMWPA[-k+q1+q2,k-q1,-q2,a,b,ν]
numG1a := (mW^2) WMWPA[k,-k+q1,-q1,a,b,μ] \
WMWPA[k-q1,-k+q1+q2,-q2,b,a,ν]

ampG1:=Contract[(numG1+numG1a) PV[q1,μ] PV[q2,ν] ] \
FeynAmpDenominator[PropagatorDenominator[k,mW], \
PropagatorDenominator[k-q1,mW],PropagatorDenominator[k-q1-q2,mW]]

resG1:= (-I/Pi^2) OneLoop[k,ampG1] /. onshell
ansG1=PaVeReduce[resG1]
```

... (Ver programa completo em <http://porthos.ist.utl.pt/CTQFT>)

```
(* Diagrams G12 and G12a *)
numG12:= (-mW^2) mt[a,b] (2 mt[a,b] mt[μ,ν]- \
mt[a,μ] mt[b,ν] -mt[a,ν] mt[b,μ])

ampG12:=Contract[numG12 PV[q1,μ] PV[q2,ν] ] \
FeynAmpDenominator[PropagatorDenominator[k,mW], \
PropagatorDenominator[k+q1+q2,mW]]

resG12:= (-I/Pi^2) OneLoop[k,ampG12] /. onshell
ansG12=PaVeReduce[resG12]
```

O Resultado Final para a Amplitude

[Sumário](#)
[Os Vértices](#)
[Os Diagramas](#)
[A Largura](#)
[Fermões](#)
[Bosões](#)
[● Amplitude](#)
[● Gráfico](#)
[Testes](#)
[Resultados](#)
[Bibliografia](#)

Obtemos

```
In [3] := XF
```

```
Out [3]= -2 tauF2 (-1 + tauF) CO[0, 0, mH2, mf2, mf2, mf2]
```

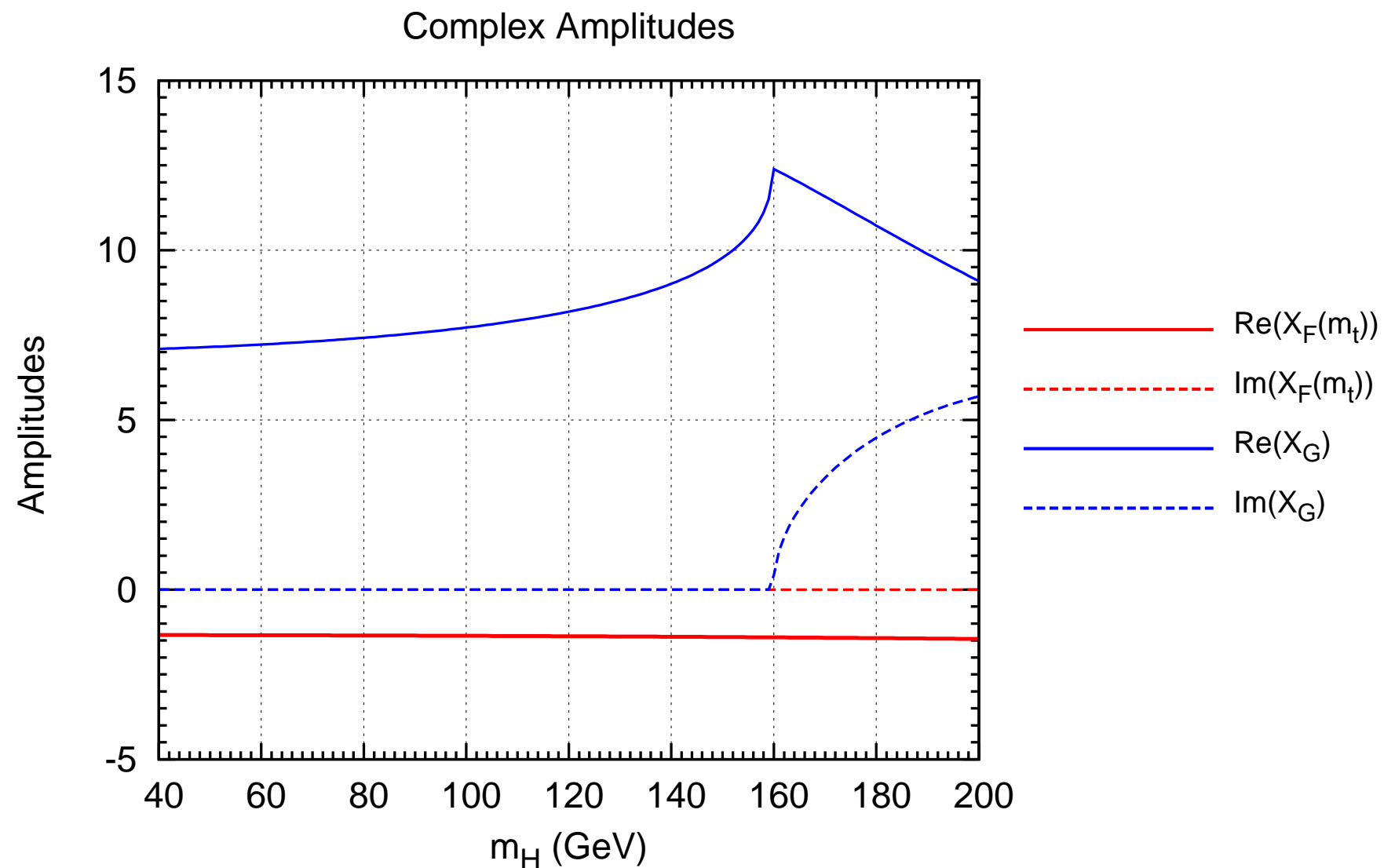
```
In [4] := XG
```

```
Out [4]= 2 + 3 tauW2 (-2 + tauW) CO[0, 0, mH2, mW2, mW2, mW2]
```

com

$$\tau_f = \frac{4m_f^2}{m_H^2}, \quad \tau_W = \frac{4m_W^2}{m_H^2}$$

O Gráfico das Amplitudes

[Sumário](#)[Os Vértices](#)[Os Diagramas](#)[A Largura](#)[Fermões](#)[Bosões](#)[● Amplitude](#)[● Gráfico](#)[Testes](#)[Resultados](#)[Bibliografia](#)

Os Testes: Divergências

[Sumário](#)
[Os Vértices](#)
[Os Diagramas](#)
[A Largura](#)
[Fermiões](#)
[Bosões](#)
[Testes](#)

- Divergências

- Invariância

- Literatura

[Resultados](#)
[Bibliografia](#)

Num problema tão complexo como este devemos fazer vários testes para ter a certeza que o resultado está certo. Nestes testes FeynCalc é um auxiliar precioso. O primeiro teste é verificar que as divergências cancelam. De facto a maior parte dos diagramas é divergente mas o resultado final não pode ser pois não há contratermo $H\gamma\gamma$ no Lagrangiano. Para isso notemos que o resultado de cada diagrama se pode escrever em termos das funções B_0 e C_0 . Destas só a função B_0 é divergente com

$$\text{Div}(B_0) = \Delta_\epsilon$$

```
(* Test that the divergences cancell out *)
div={B0[m1_,m2_,m3_]->Div}
ans=ansG1+ansG2+ansG3+ansG4+ansG5+ansG6+ansG7+ansG9+ansG10+ansG11 \
+ansG12 +ansG8G13 /. kin
TestDivDiag=Function[exp,test=exp /. kin; test=\
Simplify[Coefficient[test /. div,Div]]; test=Coefficient[test ,aux2];\
Coefficient[test ,mW,2]]
TestDiv:= Simplify[Coefficient[ans /. div ,Div]]
```

com o resultado

```
TestDiv= 0
```

Tabela das Divergências

[Sumário](#)
[Os Vértices](#)
[Os Diagramas](#)
[A Largura](#)
[Fermões](#)
[Bosões](#)
[Testes](#)
[● Divergências](#)
[● Invariância](#)
[● Literatura](#)
[Resultados](#)
[Bibliografia](#)

Diagrama	Divergência: Coeficiente de $m_W^2 \Delta_\epsilon \epsilon_1(q_1) \cdot \epsilon_2(q_2)$
F1+F1a	0
G1+G1a	9
G2+G2a	0
G3+G3a	-3/4
G4+G4a	-3/4
G5+G5a	1/2
G6+G6a	1/2
G7+G7a	0
G9+G9a	-1/2
G10+G10a	-1
G11+G11a	-1
G12	-6
G8+G8a+G13	0
Soma	0

Testes: Invariância de Gauge

[Sumário](#)

[Os Vértices](#)

[Os Diagramas](#)

[A Largura](#)

[Fermões](#)

[Bosões](#)

[Testes](#)

• Divergências

• Invariância

• Literatura

[Resultados](#)

[Bibliografia](#)

A amplitude para o processo pode ser escrita na forma

$$M = M_{\mu\nu} \epsilon^\mu(q_1) \epsilon^\nu(q_2)$$

A invariância de gauge requer que

$$q_1^\mu M_{\mu\nu} = q_2^\nu M_{\mu\nu} = 0$$

ou seja

$$M^{\mu\nu} = (g^{\mu\nu} q_1 \cdot q_2 - q_1^\nu q_2^\mu) \mathcal{M}$$

Portanto se o resultado do FeynCalc se escrever

$$M^{\mu\nu} = g^{\mu\nu} q_1 \cdot q_2 C_1 + q_1^\nu q_2^\mu C_2$$

devemos ter

$$C_1 + C_2 = 0$$

Nota: Não podem aparecer termos proporcionais a q_1^μ ou q_2^ν pois $\epsilon_1(q_1) \cdot q_1 = \epsilon_2(q_2) \cdot q_2 = 0$

Testes: Invariância de Gauge ...

[Sumário](#)

[Os Vértices](#)

[Os Diagramas](#)

[A Largura](#)

[Fermões](#)

[Bosões](#)

[Testes](#)

● Divergências

● Invariância

● Literatura

[Resultados](#)

[Bibliografia](#)

```
(* Test Gauge Invariance *)
```

```
c2 = Simplify[Coeficient[ansG, aux2]/sp[q1, q2] /. kin];
c1 = Simplify[Coeficient[ansG, aux1]];
```

```
TestGI := Simplify[c1+c2]
```

com o output

```
In [1]:= TestGI
```

```
Out [1]= 0
```

O coeficiente $C_2 = X_G$ é

```
In [2]:= c2
```

$$\text{Out [2]} = \frac{2 \left(mH^2 + 6 mW^2 - 6 mW \left(mH^2 - 2 mW^2 \right) \right) C0[0, 0, mH^2, mW^2, mW^2, mW^2]}{mH^2}$$

para os diagramas do W .

Testes: Comparação com a Literatura

[Sumário](#)

[Os Vértices](#)

[Os Diagramas](#)

[A Largura](#)

[Fermões](#)

[Bosões](#)

[Testes](#)

• Divergências

• Invariância

• Literatura

[Resultados](#)

[Bibliografia](#)

- **Barroso, Pulido, Romão, Nucl. Phys B267 (1986), 509**

$$X_F = -4 [J_1(0, 4/\tau_f) - 4J_2(0, 4/\tau_f)]$$

$$X_G = 4 [4J_1(0, 4/\tau_W) - (6 + 4/\tau_W)J_2(0, 4/\tau_W)]$$

- **Gunion, Haber, Kane, Dawson, Higgs Hunter's Guide**

$$X_F = -2\tau_f [1 + (1 - \tau_f)f(\tau_f)]$$

$$X_G = 2 + 3\tau_W + 3\tau_W(2 - \tau_W)f(\tau_W)$$

com

$$f(\tau) = \begin{cases} \left[\sin^{-1}(\sqrt{1/\tau}) \right]^2, & \text{se } \tau \geq 1 \\ -\frac{1}{4} [\ln(\eta_+/\eta_-) - i\pi]^2, & \text{se } \tau < 1 \end{cases}$$

$$\eta_{\pm} = 1 \pm \sqrt{1 - \tau}, \quad \tau_f = \frac{4m_f^2}{m_H^2}, \quad \tau_W = \frac{4m_W^2}{m_H^2}$$

Testes: Comparação com a Literatura . . .

A comparação pode ser feita com o código:

```
(* Comparison with NPB267(1986)509 *)

subJ[m_] := {J1 -> -m^2 C0[0, 0, mH^2, m^2, m^2, m^2],  

             J2 -> tau/4 (-1/2 - m^2 C0[0, 0, mH^2, m^2, m^2, m^2])}

XFBPR=Simplify[-4 ( J1 -4 J2) /. subJ[mf]]  

XGBPR= Simplify[ 4 (4 J1 -( 6 + 4/tau) J2 ) /. subJ[mW]]

TestXFBPR:=Simplify[XF-XFBPR]  

TestXGBPR:=Simplify[XG-XGBPR]
```

```
(* Comparison with Higgs Hunter's Guide *)

subftau[m_]:= {ftau[m] -> -2 m^2 C0[0, 0, mH^2, m^2, m^2, m^2] /tau}

XFHHG=Simplify[-2 tau (1 + (1-tau) ftau[mf]) /. subftau[mf]]  

XGHHG= Simplify[ 2 + 3 tau + 3 tau (2-tau) ftau[mW] /. subftau[mW]]

TestXFHHG:=Simplify[XF-XFHHG]  

TestXGHHG:=Simplify[XG-XGHHG]
```

O Resultado Final para $H \rightarrow \gamma\gamma$

[Sumário](#)

[Os Vértices](#)

[Os Diagramas](#)

[A Largura](#)

[Fermões](#)

[Bosões](#)

[Testes](#)

[Resultados](#)

● Largura

● BR's

● Gráfico Final

[Bibliografia](#)

O resultado final é portanto

$$\Gamma = \frac{\alpha^2 G_F m_H^3}{128\sqrt{2}\pi^3} \sum_i |Q_i^2 X_i|^2$$

com

$$X_F = -2\tau_f - 4m_f^2(-1 + \tau_f)C_0(0, 0, m_H^2, m_f^2, m_f^2, m_f^2)$$

$$X_G = 2 + 3\tau_W + 6m_W(-2 + \tau_W)C_0(0, 0, m_H^2, m_W^2, m_W^2, m_W^2)$$

Branching Ratios

As expressões para as várias larguras são:

- $H \rightarrow f\bar{f}$

$$\Gamma(H \rightarrow f\bar{f}) = \frac{G_F m_H m_f^2}{4\pi\sqrt{2}} N_c \beta^3, \quad \beta = \sqrt{1 - 4m_f^2/m_H^2}$$

- $H \rightarrow WW^* \ (m_W < m_H < 2m_W)$

$$\Gamma(H \rightarrow WW^*) = \frac{3G_F^2 m_W^4 m_H}{16\pi^3} F(x, \delta), \quad x = \frac{m_W}{m_H}, \quad \delta = \frac{\Gamma_W}{m_H}$$

$$F(x, \delta) = \int_{2x}^{1+x^2} dy \frac{\sqrt{y^2 - 4x^2}}{(1-y)^2 + x^2\delta^2} (y^2 - 12x^2y + 8x^2 + 12x^4)$$

- $H \rightarrow ZZ^* \ (m_Z < m_H < 2m_Z)$

$$\Gamma(H \rightarrow ZZ^*) = \frac{G_F^2 m_Z^4 m_H}{64\pi^3} \left(7 - \frac{40}{3} \sin^2 \theta_W + \frac{160}{9} \sin^4 \theta_W \right) F(x', \delta'), \quad x' = \frac{m_Z}{m_H}, \quad \delta' = \frac{\Gamma_Z}{m_H}$$

Branching Ratios . . .

- $H \rightarrow \gamma\gamma$

$$\Gamma(H \rightarrow \gamma\gamma) = \frac{G_F m_H^3}{8\pi\sqrt{2}} \frac{\alpha^2}{16\pi^2} \sum_i |Q_i X_i|^2$$

- $H \rightarrow Z\gamma$

$$\Gamma(H \rightarrow Z\gamma) = \frac{G_F m_H^3}{4\pi\sqrt{2}} \frac{\alpha^2}{16\pi^2} \left(1 - \frac{m_Z^2}{m_H^2}\right)^3 |Y_F + Y_G|^2$$

$$Y_F = \sum_f N_{cf} \frac{Q_f g_V^f}{\sin \theta_W \cos \theta_w} I_F, \quad Y_G = \frac{1}{\tan \theta_W} I_W$$

com

$$\begin{aligned} I_F &= \frac{8m_f^2 m_Z^2}{(m_H^2 - m_Z^2)^2} [B_0(m_H^2, m_f^2, m_f^2) - B_0(m_Z^2, m_f^2, m_f^2)] \\ &\quad - \frac{4m_F^2}{m_H^2 - m_Z^2} [-2 + (-4m_f^2 + m_H^2 - m_Z^2) C_0(m_Z^2, 0, m_H^2, m_f^2, m_f^2, m_f^2)] \end{aligned}$$

Branching Ratios . . .

e

$$I_W = -\frac{1}{(m_H^2 - m_Z^2)^2} [m_H^2(1 - \tan^2 \theta_W) - 2m_W^2(-5 + \tan^2 \theta_W)] m_Z^2 \Delta B_0$$

$$-\frac{1}{m_H^2 - m_Z^2} [m_H^2(1 - \tan^2 \theta_W) - 2m_W^2(-5 + \tan^2 \theta_W)$$

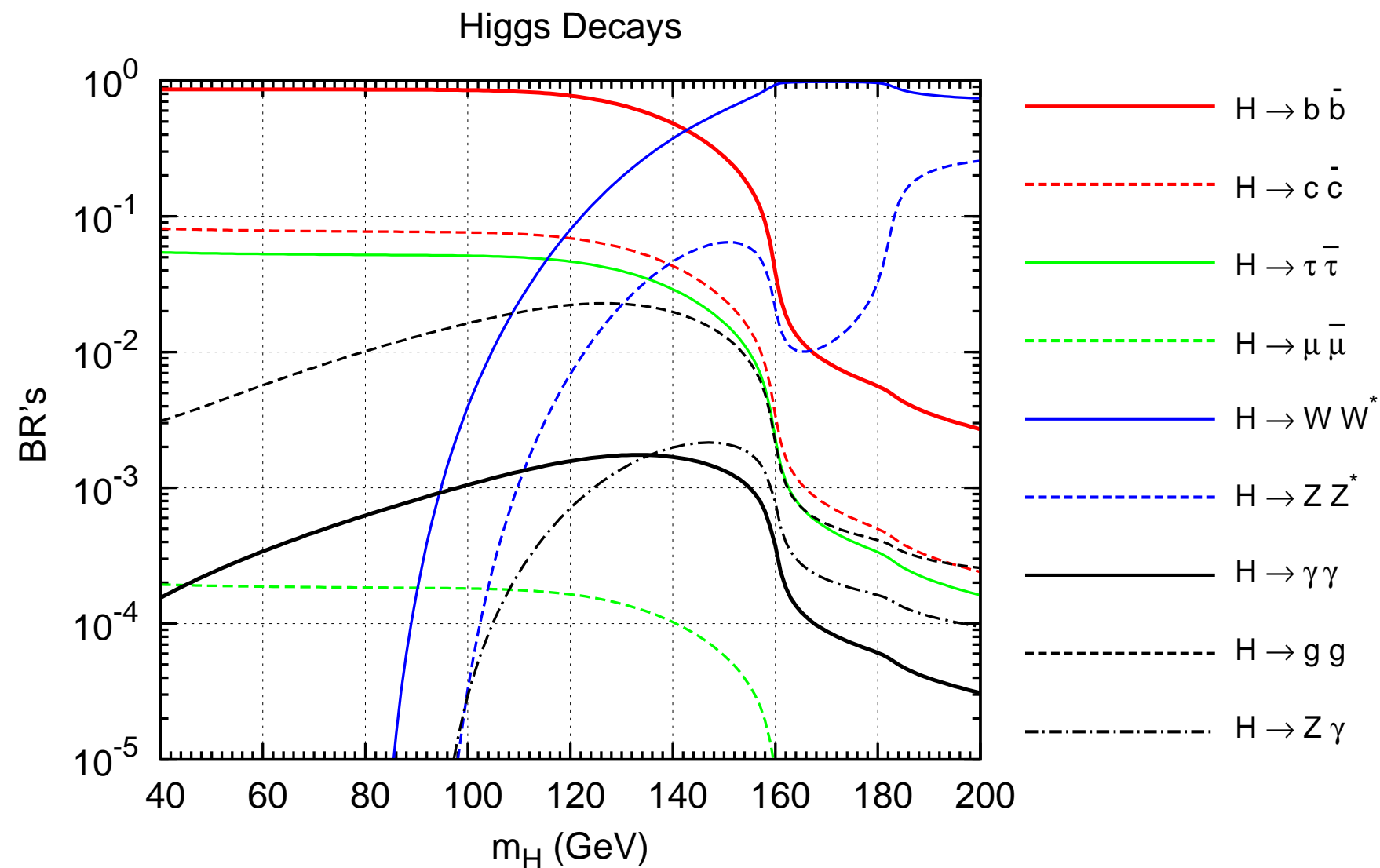
$$+ 2m_W^2 ((-5 + \tan^2 \theta_W)(m_H^2 - 2M_W^2) - 2m_Z^2(-3 + \tan^2 \theta_W)) C_0]$$

$$\Delta B_0 = B_0(m_H^2, m_W^2, m_W^2) - B_0(m_Z^2, m_W^2, m_W^2), \quad C_0 = C_0(m_Z^2, 0, m_H^2, m_W^2, m_W^2, m_W^2)$$

$H \rightarrow gg$

$$\Gamma(H \rightarrow gg) = \frac{\alpha_s^2 G_F m_H^3}{64\pi^3 \sqrt{2}} \sum_{i=u,d,s,c,t,b} |X_{F_i})|^2$$

Gráfico Final

[Sumário](#)
[Os Vértices](#)
[Os Diagramas](#)
[A Largura](#)
[Fermões](#)
[Bosões](#)
[Testes](#)
[Resultados](#)
[● Largura](#)
[● BR's](#)
[● Gráfico Final](#)
[Bibliografia](#)


Bibliografia

- Barroso, Pulido, Romão**, Nucl. Phys. B267 (1986), 509
- Gunion, Haber, Kane, Dawson**, Higgs Hunter's Guide
- Página de Métodos Computacionais:** <http://porthos.ist.utl.pt/CTQFT>
- QGRAF:** <http://cfif.ist.utl.pt/~paulo/>
- Keung, Marciano**, Phys. Rev. D30 (1984), 248